

УДК 616-053.2-073.432.19

ББК 57.33

В19

А. Ю. Васильев, Е. Б. Ольхова

Основы ультразвуковой диагностики в педиатрии и детской хирургии.

Учебно-методическое пособие для врачей ультразвуковой диагностики . — М.: ООО «Фирма СТРОМ», 2019. — 340 с.: ил.

Данное пособие рассчитано в первую очередь на врачей-практиков, ведущих ежедневную кропотливую, зачастую — рутинную работу по выявлению заболеваний, в первую очередь на поликлиническом этапе. В то же время даже на амбулаторном этапе возможно появление пациентов с самыми разными, порой редкими и уникальными заболеваниями, с неотложной патологией. Поэтому большой раздел в главе 5 посвящен ультразвуковой диагностике аппендицита у детей: показаны варианты нормы и изменения при воспалении отростка; рассмотрены осложнения, возникающие при воспалении аппендикса, и осложнения после аппендэктомии.

В издании представлены данные ультразвуковой диагностики, полученные на аппаратуре высокого и среднего класса без использования допплеровских технологий. Именно В-режим дает более 95% информации в нашей специальности, особенно на первичном этапе диагностики врачами, имеющими общие навыки выполнения ультразвуковых исследований.

Пособие содержит свыше 1400 эхограмм и 264 клипа, которые представляют собой фрагменты реальных ультразвуковых исследований. К каждому клипу даны комментарии с указанием доступа, плоскости сканирования и описанием зоны визуализации. Для самообразования представлены вопросы тестового контроля и визуальные задачи с ответами для самоконтроля.

Также издание будет полезно врачам учреждений родовспоможения, когда на специалистов по ультразвуковой диагностике в акушерстве и генитологии направляют неонatalный контингент.

Ни одна из частей этой книги не может быть перепечатана в любом виде (электронном, механическом, фотографическом, письменном и др.) полностью или частями без письменного разрешения ООО «Фирма СТРОМ».

ISBN 978-5-900094-56-4

© А. Ю. Васильев, Е. Б. Ольхова, 2019

© ООО «Фирма СТРОМ», 2019

Содержание

Подготовка детей к ультразвуковому исследованию	16
Особенности проведения ультразвукового исследования у детей	16
Особенности использования ультразвуковой аппаратуры	17
Наиболее частые вопросы родителей	23
 <i>Глава 1</i>		
Головной мозг и кости черепа	27
Нормальные размеры некоторых фрагментов ликворных путей и пространств	32
Незрелость структур головного мозга	32
Перивентрикулярный отек	33
Парасагиттальный ишемический некроз	34
Субкортикальная лейкомалия	35
Массивный герминолизис	35
Тяжелая гипоксия	36
Кровоизлияния головного мозга		
<i>Пери- и интравентрикулярные кровоизлияния</i>	38
<i>Паренхиматозные кровоизлияния</i>	43
<i>Кровоизлияния в базальные ганглии</i>	44
<i>Кровоизлияния в заднюю черепную ямку</i>	45
<i>Наружные гидроцефалические изменения</i>	46
<i>Субарахноидальные кровоизлияния</i>	46
<i>Эпидуральное кровоизлияние</i>	47
<i>Субдуральное кровоизлияние</i>	48
<i>Вдавленный перелом</i>	48
<i>Оболочные кровоизлияния в заднюю черепную ямку</i>	49
<i>Минимальные оболочные кровоизлияния</i>	49
Переломы костей черепа	50
Воспалительные заболевания головного мозга		
<i>Менингиты</i>	51

<i>Энцефалиты</i>	52
<i>Вентрикулиты</i>	53
<i>Абсцессы мозга</i>	55
<i>Лентикулостриарная минерализирующая ангиопатия</i>	55
<i>Субэндемимальные кисты</i>	56
<i>Кисты сосудистых сплетений</i>	57
<i>Мелкие кальцификаты</i>	57
Аномалии развития головного мозга	
<i>Агенезия мозолистого тела</i>	58
<i>Агенезия стенок полости прозрачной перегородки</i>	59
<i>Лобарная форма голопрозвэнцефалии</i>	59
<i>Гидранэнцефалия</i>	59
<i>Шизэнцефалия</i>	60
<i>Синдром Денди — Уокера</i>	61
<i>Арахноидальные кисты</i>	61
<i>Аневризма вены Галена</i>	62
<i>Агенезия (гипоплазия) серпа головного мозга</i>	62
<i>Тромбоз верхнего сагittalного синуса</i>	63
<i>Тромбоз поперечных синусов</i>	63
Образцы протоколирования	64
Глава 2	
Лицо, подчелюстная область, шея	
<i>Щитовидная железа</i>	67
<i>Подчелюстные лимфоузлы</i>	67
<i>Гнойное расплавление лимфоузла</i>	68
<i>Глубокие абсцессы шеи</i>	68
<i>Миндалины</i>	68
<i>Паратонзиллярные абсцессы</i>	68
<i>Парафарингеальные абсцессы</i>	69
<i>Кисты шеи</i>	70
<i>Гортань</i>	70
<i>Парезы и параличи голосовых складок</i>	70
<i>Объемные образования гортани</i>	70
<i>Кисты и лимфангиомы гортани</i>	71

<i>Спайки и рубцы голосовых складок</i>	71
Ультразвуковое исследование языка	72
Сиалоаденит и паротит	72
Воспаление интраорганных лимфоузлов	73
Слюннокаменная болезнь	73
Хронический сиалоаденит	74
Гемангиома слюнной железы	74
Мышечная кривошея	74
Тромботические осложнения, дилатация яремных вен	74
Объемные образования области лица и шеи	76
Образцы протоколирования	77
Глава 3	
Органы грудной полости	79
Пневмонический очаг	80
Крупные абсцессы легких	84
Плевральный выпот	84
Фибриноторакс	87
Гемоторакс	88
Хилоторакс	88
Кисты легких	89
Паразитарные кисты легких	90
Объемные образования перикарда	91
Кисты средостения	91
Опухоли средостения	92
Ультразвуковая оценка состояния легких	93
Пневмония у новорожденных	94
Ателектаз легкого	94
Диафрагмальные грыжи	95
Жидкостное содержимое в полости перикарда	96
Тромбы в полостях сердца	96
Опухоли сердца	97
Переломы ребер и остеомиелитическое поражение ребер и грудины	97
Ультразвуковое исследование вилочковой железы	98
Образцы протоколирования	100

Глава 4	
Гепатопанкреатобилиарная система	103
Печень	103
<i>Атипичное строение</i>	103
<i>Диффузное повышение эхогенности</i>	105
<i>Гемангиомы и гемангиоматоз печени</i>	106
<i>Нодуллярная гиперплазия</i>	108
<i>Опухоли печени</i>	108
<i>Острый гепатит</i>	109
<i>Диффузные изменения</i>	109
<i>Фиброз печени</i>	110
<i>Цирроз печени</i>	110
<i>Кисты печени</i>	110
<i>Тромбоз portalной вены</i>	112
<i>Тотальный портальный тромбоз</i>	112
<i>Кавернозная трансформация воротной вены</i>	112
<i>Внутрипеченочные сосудистые шунты</i>	113
Желчный пузырь	
<i>Деформации</i>	113
<i>Пороки развития</i>	114
<i>Взвесь в просвете пузыря</i>	114
<i>Полипоз</i>	115
<i>Конкременты в просвете пузыря</i>	115
<i>Острый холецистит</i>	116
<i>Отключенный пузырь</i>	116
Кистозная трансформация холедоха	117
Травматические повреждения	118
<i>Гиперэхогенный паттерн</i>	120
<i>Подкапсульные разрывы печени</i>	120
<i>Крупные подкапсульные гематомы</i>	120
Поджелудочная железа	121
<i>Реактивные изменения</i>	121
<i>Острый панкреатит</i>	122
<i>Травма</i>	125
Селезенка	126

<i>Кисты</i>	126
<i>Реактивные изменения селезенки</i>	127
<i>Синдром гипоэхогенных включений</i>	127
<i>Кальцификаты</i>	127
<i>Травма</i>	128
Возрастные нормы размеров внутренних органов брюшной полости	128
Образцы протоколирования	129

Глава 5**Органы брюшной полости (желудок, кишечник)** 133

Аппендицис (норма, изменения при воспалении, осложнения при воспалении, осложнения после аппендэктомии)	133
Мезаденит, гастриты	143
Кишечная инвагинация	144
Кишечная инфекция	147
Симптом пораженного полого органа	147
Синдром гиперэхогенного кишечника	148
Язва желудка	149
Гипертрофический пилоростеноз	150
Атрезия 12-перстной кишки	151
Синдром Ледда	153
Язвенно-некротический энтероколит	155
Энтерокисты	157
Хронические запоры	158
Лимфангиомы брыжейки кишки	159
Внутрибрюшные объемные образования	160
Синдром Куррарино	161
Злокачественные опухоли кишечника	162
Инородные тела в просвете желудочно-кишечного тракта	163
Атрезия анального отверстия	164
Пупочная грыжа	166
Образцы протоколирования	167

Глава 6**Опорно-двигательный аппарат и мягкие ткани** 171

Нормальная УЗ-анатомия тазобедренного сустава новорожденного 171

Дисплазия тазобедренного сустава 173

Вывих бедра 173

Коксит 174

Остеомиелит 175

Переломы трубчатых костей 177

Проксимальный эпифизеолиз плечевой кости 179

Дистальный эпифизеолиз плеча 179

Коленный сустав*Ультразвуковая анатомия коленного сустава* 179*Гониты* 180*Кисты Беккера* 180*Повреждения менисков* 181**Воспалительные изменения мягких тканей***Инфильтрат* 182*Гематомы подкожной клетчатки* 182*Флегмона* 182*Абсцессы* 183*Липомы* 183*Рубцовые изменения мышц* 183*Гематомы в мягких тканях* 183*Кровоизлияние в подвздошно-поясничную мышцу* 184*Повреждения сухожилий* 184*Инородные тела мягких тканей* 185*Объемные образования мягких тканей* 186

Исследования крупных сосудов конечностей и магистральных сосудов живота 187

Образцы протоколирования 190

Глава 7**Органы мошонки** 191

Неизмененная гидатида 191

Синдром отечной и гиперемированной мошонки 192

Эпидидимит	192
Орхит	193
Флегмона Фурнье	193
Перекрут яичка	194
Водянка оболочек яичка	196
Паховая и пахово-мошоночная грыжи	198
Киста семенного канатика	199
Сперматоцеле	199
Травма мошонки	200
Гематоцеле	200
Варикоцеле	201
Крипторхизм	201
Тестикулярный микролитиаз	202
Объемные образования яичек	202
Удвоение яичка	203
Образцы протоколирования	203

Глава 8

Внутренние гениталии	205
Возрастные нормы размеров внутренних гениталий	206
Апоплексия яичника	207
Неосложненная киста яичника	208
Осложненные кисты яичника	209
Фолликулярные кисты	209
Кисты желтого тела	210
Тератоидные кисты	210
Перекрут придатков	211
Патологические изменения при неперфорированной девственной плеве	212
Аномалии развития внутренних гениталий	214
Опухоли матки	216
Ультразвуковое исследование молочных желез	216
Образцы протоколирования	218

Глава 9	
Почки	219
Возрастные нормы размеров	219
Дольчатость	220
Бертиниевы колонны	221
Аномалии количества и положения	221
Удвоение собирательной системы	222
Аномалии взаиморасположения	222
Пиелоэктазия	224
Синдром Фрейли	224
Гидронефrotическая трансформация почки	224
Мегауретеры, обструктивные уропатии	225
Пиелонефрит	230
Инфильтрат в почке	232
Крупные абсцессы	232
Пиелонефрит на фоне обструктивных уропатий	233
Паранефрит	234
Хронический атрофический пиелонефрит	234
Некротический папиллит	234
Нефросклероз	236
Дисметаболические нефропатии	237
Тубулярные нарушения	237
Нефрокальциноз	238
Конкременты в почках	238
Кисты почек	241
Гемолитико-уремический синдром	247
Острое почечное повреждение	248
Отторжение почечного трансплантата	250
Острый гломерулонефрит	250
Травматические повреждения почек	251
Сгустки крови в мочевом пузыре	253

Нейрогенный мочевой пузырь	254
Рудимент урахуса	255
Исследование сосудистого русла почек	256
Тромбоз почечных вен	256
Тромбоз почечной артерии	257
Опухоли почек	258
Образцы протоколирования	260
 <i>Глава 10</i>	
Надпочечники	263
Кровоизлияние в надпочечник	264
Объемные образования	266
Гиперплазия коры надпочечников	269
Травматические повреждения	270
Образцы протоколирования	271
Вопросы тестового контроля	273
Визуальные задачи	277
Описание исследований, представленных в клипах на CD-диске	299
Рекомендуемая литература	338

Глава 1

Головной мозг и кости черепа

Стандартная НСГ проводится через большой родничок во фронтальных и сагиттальных сканах. Используется векторный датчик, при его отсутствии можно использовать стандартный конвексный, тогда угол визуализации структур головного мозга (ГМ) будет меньше. Частота датчика при сканировании ГМ новорожденных примерно 6 МГц, у старших грудничков — до 2 МГц, у недоношенных — 8–10 МГц.

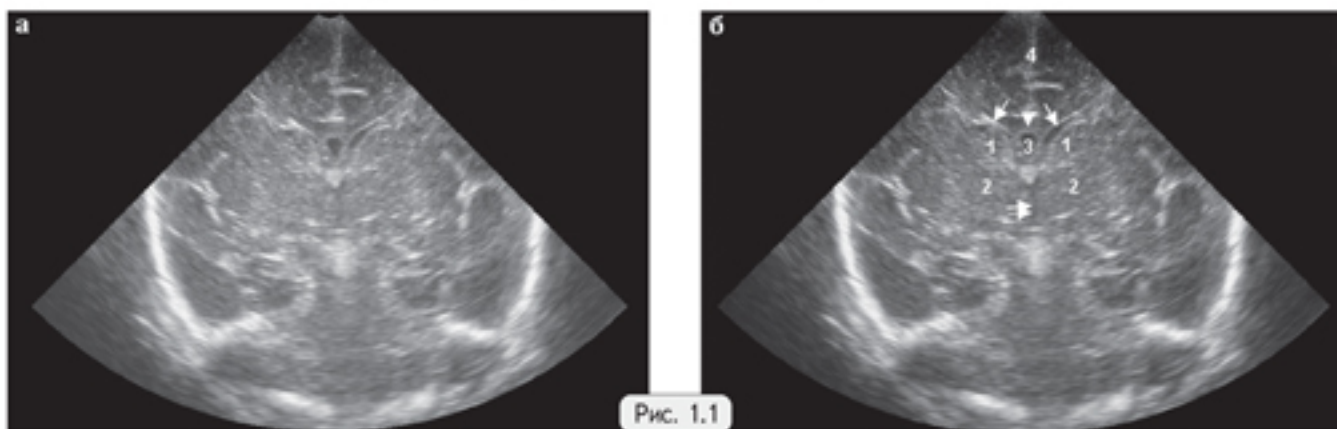


Рис. 1.1

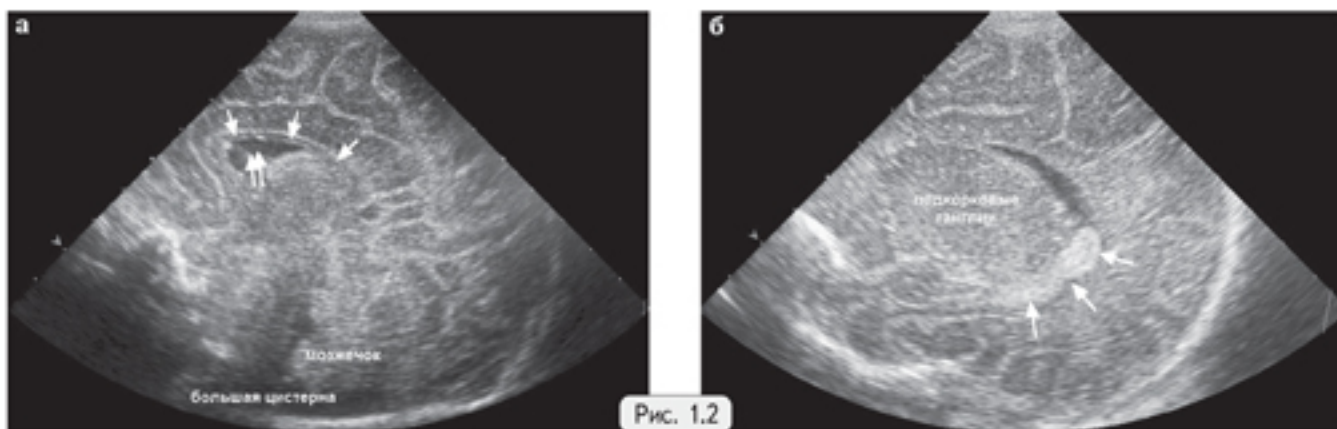


Рис. 1.2

Стандартный фронтальный скан, в котором проводится измерение передних рогов боковых желудочков, проходит через III желудочек, при этом он и передние рога боковых желудочков образуют характерный рисунок — «тюльпан» (рис. 1.1, сплошная черная линия). Обозначения на рис. 1.1 (клип 1.1 на CD): 1 — хвостатые ядра; 2 — таламусы; 3 — полость прозрачной перегородки; 4 — межполушарная борозда; короткая стрелка — мозолистое тело; стрелки — передние рога боковых желудочков; двойная стрелка — III желудочек. Структуры головного мозга в норме всегда симметричны. Подкорковые ядра редко четко дифференцируются друг от друга, поскольку имеют одинаковую эхоструктуру. При проведении НСГ во фронтальной плоскости последовательно осматривается ГМ от лобных до затылочных отделов включительно. Визуализация трех борозд в лобных долях является критерием зрелости структур ГМ.

В сагиттальном скане (рис. 1.2а; клип 1.2-1 на CD) определяется проходимость ликворных путей, оценивается мозолистое тело (толщина его в норме — 1–2 мм) и ликворные полости, расположенные по средней линии. Четко прослеживается полость прозрачной перегородки (рис. 1.2а, двойная стрелка); недиплазированные III желудочек и область сильвиева водопровода выглядят гипоэхогенной областью. Большая цистерна часто дифференцируется нечетко из-за глубины расположения. Мозжечок имеет повышенную эхогенность относительно других отделов ГМ, но визуализация его сложна из-за значительной глубины расположения относительно большого родничка. В парасагиттальных сканах оценивают перивентрикулярные области, состояние подкорковых ядер, сосудистые сплетения (рис. 1.2б; клип 1.2-2 на CD).

Глава 2

Лицо, подчелюстная область, шея

Щитовидная железа (ЩЖ) у детей исследуется по тем же принципам, что и у взрослых пациентов. Максимально информативен суммарный тиреоидный объем:

$$V = (A_1 \times B_1 \times C_1 + A_2 \times B_2 \times C_2) \times 0,479,$$

где А, В, С — ширина, толщина и длина каждой доли.

Объем варьирует очень значительно, у здоровых детей со сходным соматическим статусом объем железы может отличаться в 2–3 раза.

Ориентировочно, в зависимости от росто-весовых показателей детей, можно использовать следующие данные: новорожденные — 0,5–1,0 мл; 4–6 лет — 1–4 мл; 7–9 лет — 1–6 мл; 13–15 лет — 2–10 мл (упрощенно, по М. И. Пыкову).

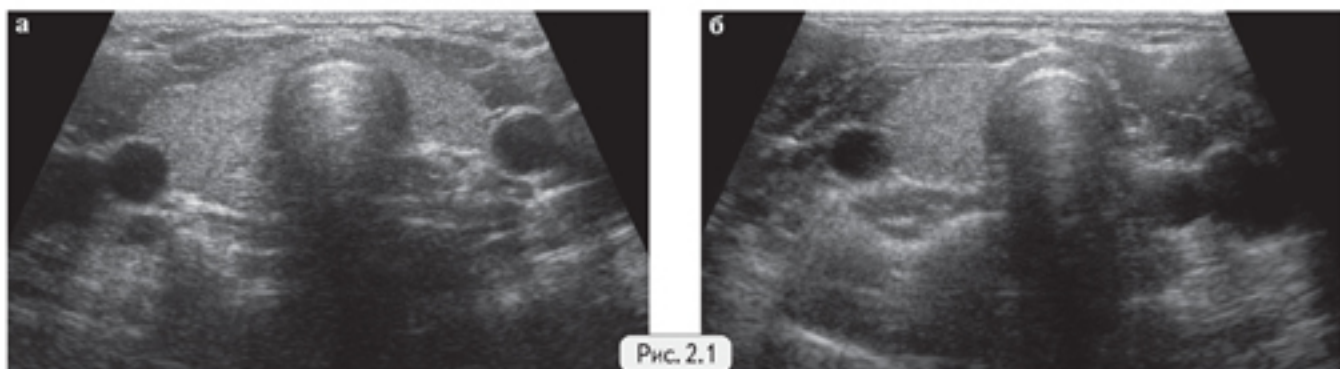


Рис. 2.1

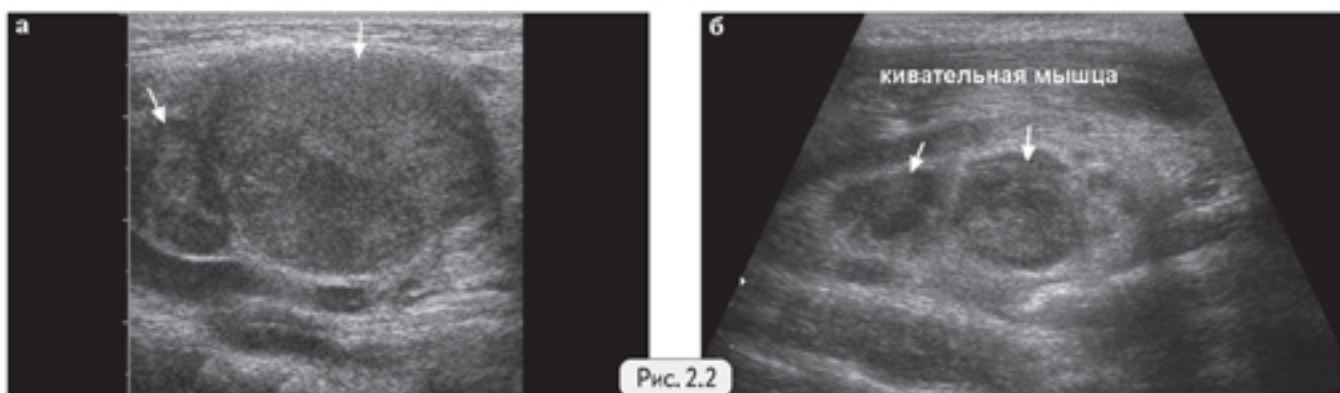


Рис. 2.2

Редкие варианты строения ЩЖ — аплазия (рис. 2.1б) и гипоплазия (рис. 2.1а) доли, которые при сохранении суммарного тиреоидного объема в пределах нормы не имеют клинического значения.

Технические сложности УЗИ щитовидной железы могут возникать у детей раннего возраста, когда на короткой шейке ребенка линейным датчиком очень трудно получить продольный скан. Также дети не любят положения с запрокинутой головой, поэтому вместо валика под шейку малыша лучше положить руку матери ребенка.

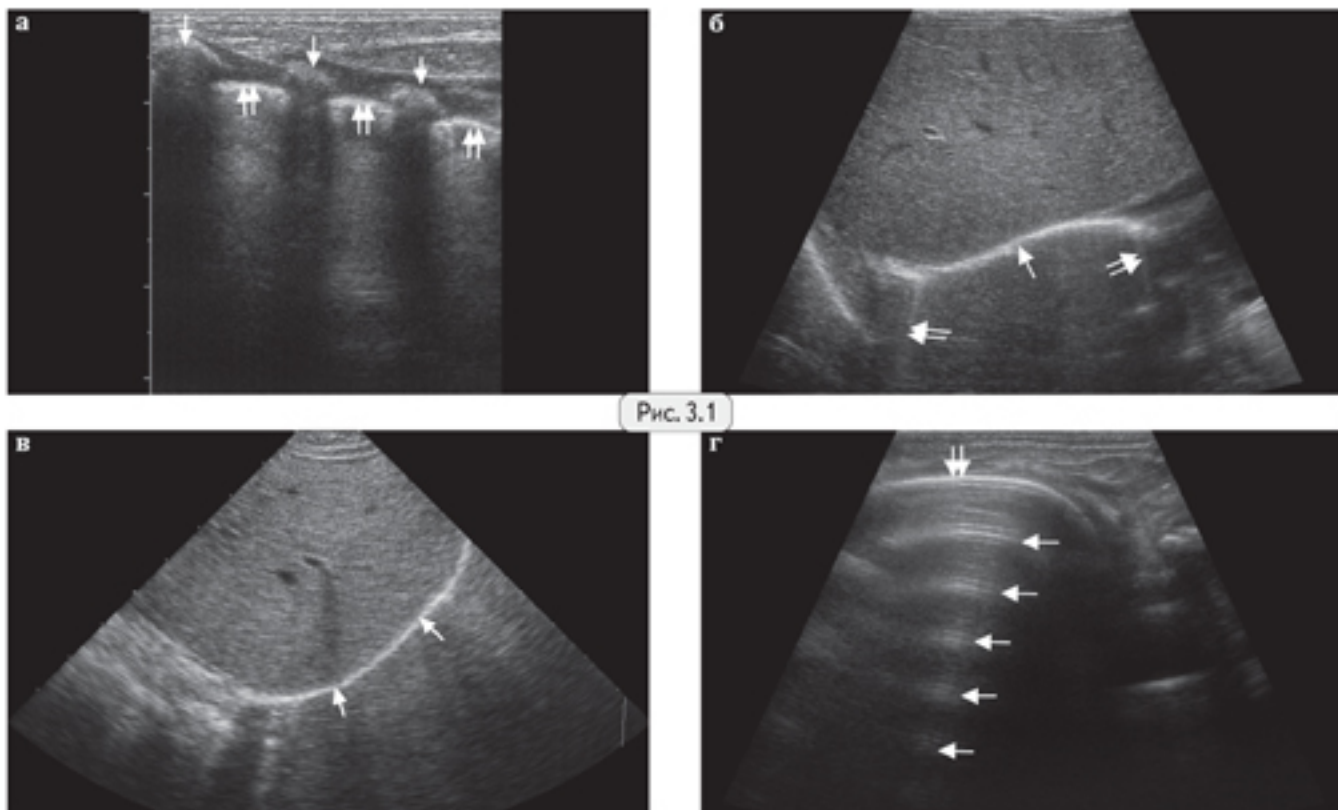
Среди патологических состояний щитовидной железы наиболее часто встречается тиреоидит (чаще в старшем дошкольном и подростковом возрасте), много реже — узлы (в том числе опухоли) и диффузный токсический зоб, оценка которых проводится по принципам, обычным во взрослой практике.

Подчелюстные лимфоузлы исследуются линейным датчиком. При воспалении увеличиваются в размерах, сохраняют четкие контуры, форма овальная или приближается к круглой (рис. 2.2а, стрелки). Характерно снижение эхогенности ткани лимфоузла. Возможно невыраженное утолщение и повышение эхогенности окружающих мягких тканей. Воспаление лимфоузлов, расположенных под кивательными мышцами, клинически симулирует кривошею (рис. 2.2б, стрелки; ктип 2.2 на CD).

Глава 3

Органы грудной полости

Нормальная легочная ткань эхографической оценке недоступна, поскольку ультразвуковые лучи не проходят через воздух, содержащийся в альвеолах. Таким образом, в норме можно только констатировать факт воздушности поверхностных отделов легких, а достоверно судить о структуре легочной ткани, наличии или отсутствии патологических очагов в глубже расположенных отделах легких эхографически невозможно.



Сканирование легких может быть выполнено из самых разных доступов. Чаще всего используется транскостальный доступ (рис. 3.1а — поперек ребер) межреберные доступы, субксифоидный и подреберные (рис. 3.1б, в) доступы. Граница воздушной легочной ткани при УЗИ выглядит как «толстая белая линия», которая формируется диафрагмой, двумя слоями плевры (париетальной и висцеральной) и отражением от воздушной легочной ткани (рис. 3.1а, двойная стрелка, одинарными стрелками показаны ребра с акустическими тенями, рис. 3.1б, стрелка). При сканировании из эпигастрального доступа в различных проекциях в формировании «толстой белой линии» принимает участие еще и диафрагма, которая как отдельная структура не дифференцируется (рис. 3.1б, в, стрелки).

Для УЗИ легких могут быть использованы конвексные, векторные и линейные датчики в зависимости от конкретной ситуации и размеров тела ребенка.

Необходимо обращать внимание на характер артефакта от поверхности воздушной легочной ткани: в норме от поверхности воздушного легкого вглубь поля визуализации распространяются отстоящие друг от друга на равном расстоянии многочисленные реверберационные артефакты, имеющие вид «толстых белых линий» (т. н. А-линий), повторяющих форму поверхности легкого, от которой они генерируются (рис. 3.1г — стрелками показаны А-линии, двойной стрелкой — поверхность легкого). В норме прослеживаются также единичные В-линии (рис. 3.1б — двойные стрелки), направленные вертикально вниз от поверхности легкого тонкие белые линии (от плотных структур паренхимы легкого) — не более двух В-линий в одном скане в верхних и средних отделах легкого и не более четырех — в нижних отделах.

Глава 4

Гепатопанкреатобилиарная система

Для определения размеров **печени** обычно используют следующие параметры.

Косой вертикальный размер (КВР) правой доли измеряется от нижнего края до наибольшей выпуклости купола диафрагмы (при выведении максимального по площади среза правой доли в правом подреберье; часто срез проходит через ствол portalной вены). Датчик располагается косо в правом подреберье по среднеключичной линии.

Норма: доношенный новорожденный — 45–55 мм; 1 год — 73 мм; 5 лет — 100 мм; взрослый — до 150 мм (крупный гипертензик — до 180 мм).

Толщина левой доли измеряется от ее передней до задней, обращенной к позвоночнику, поверхности. Норма для взрослого — 50–60 мм. Толщина хвостатой доли (I сегмента) измеряется в сагittalном направлении от передней стенки нижней полой вены до задней стенки левой ветви portalной вены. Норма для взрослого — до 30 мм. Соотношение долей (ширина): правая больше левой в 1,5 раза. Границей между долями служит круглая связка, если она слабо выражена — медиальный край левой долевой ветви воротной вены (кармана). Умеренная гепатомегалия является неспецифической реакцией на разные патологические процессы, может встречаться как индивидуальная особенность.

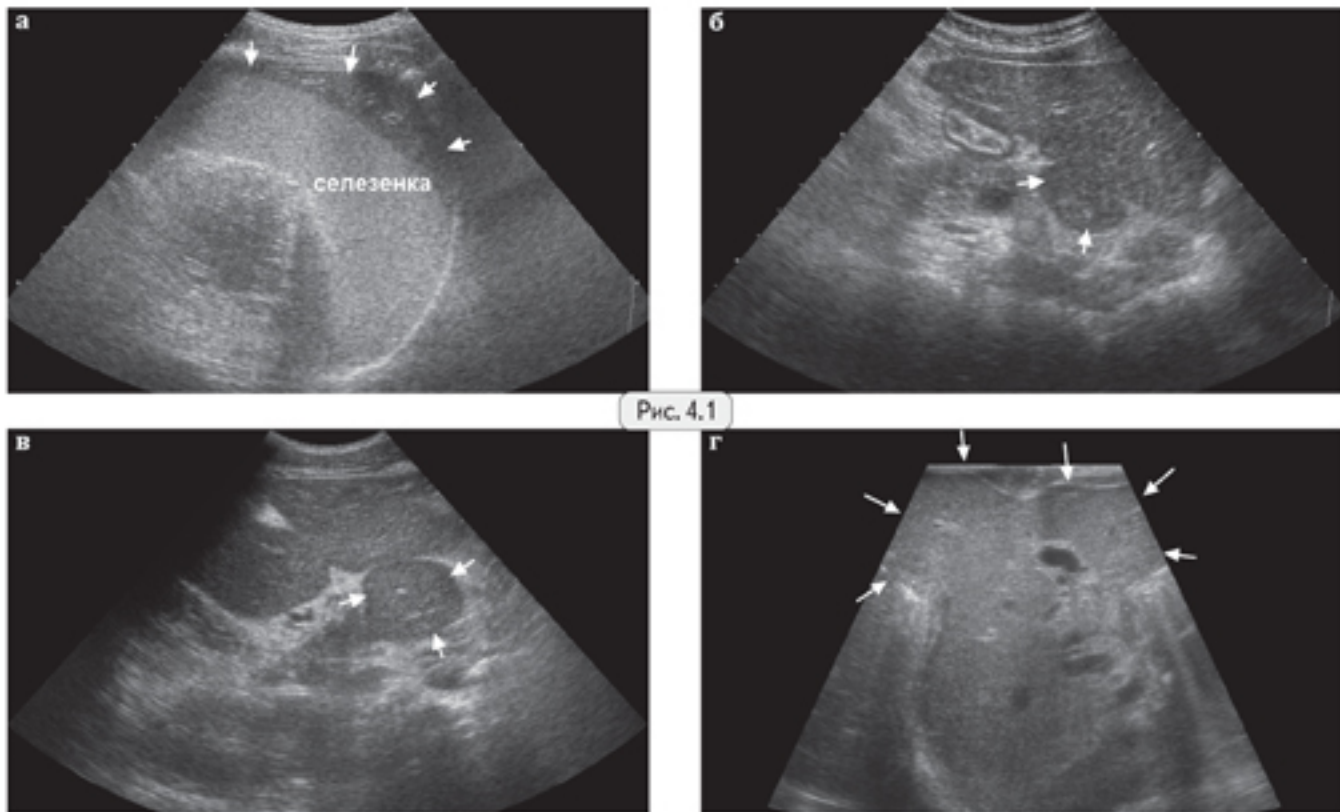


Рис. 4.1

Атипичное строение печени встречается редко. Иногда встречается удлиненный «язык» левой доли, огибающий селезенку (рис. 4.1а, стрелки; клип 4.1-1 на CD), который может эхографически симулировать подкапсуллярную гематому селезенки. Необходимо обращать внимание на структуру сомнительного объекта (сохранение сосудистого рисунка печени). В некоторых случаях имеет место атипичный добавочный фрагмент хвостатой доли (рис. 4.1б, в, стрелки; клип 4.1-2 на CD). Казуистически редко наблюдаются грубые изменения формы печени у детей с аномалиями развития передней брюшной стенки и диафрагмы с перемещением фрагмента печени в грыжевое содержимое (рис. 4.1г, стрелки; фрагмент печени, перемещенный в грыжевое содержимое у младенца с эмбриональной грыжей).

Глава 5

Органы брюшной полости (желудок, кишечник)

Самым коварным среди заболеваний органов брюшной полости в детской практике является острый аппендицит. Как говорят хирурги, «...дети болеют аппендицитом, аппендицитом и еще раз аппендицитом...». Обязательным условием осмотра брюшной полости с целью визуализации червеобразного отростка является умеренно наполненный мочевой пузырь, который позволяет оценить наличие выпота в малом тазу, наличие аппендицита при тазовом расположении отростка. Кроме того, наполненный мочевой пузырь несколько оттесняет вверх кишечные петли, значительно улучшая условия визуализации структур в правой подвздошной области. Сканирование выполняется с применением методики дозированной компрессии датчиком области исследования, что позволяет оттеснить наполненные газом кишечные петли, поэтому беспокойное поведение ребенка, напряжение передней брюшной стенки затрудняет обследование.

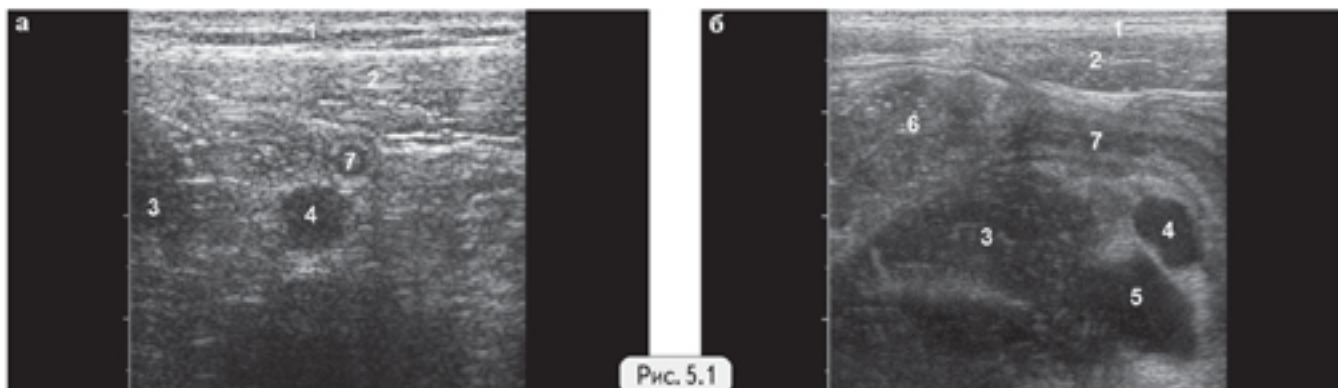


Рис. 5.1

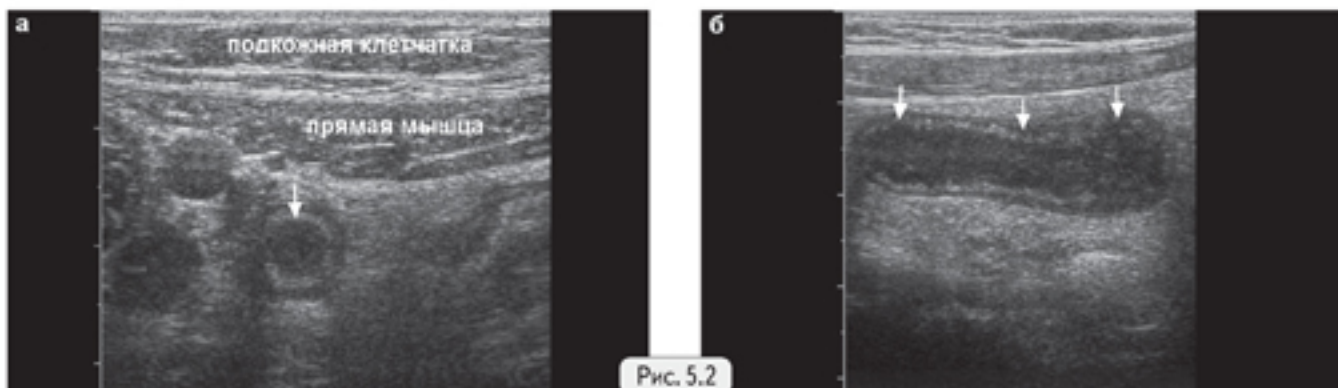


Рис. 5.2

Неизмененный аппендиекс (рис. 5.1, 7) визуализируется редко, имеет диаметр до 8 мм (чаще — 4–5 мм), гиперэхогенный центр, компримируется при надавливании датчиком. Над отростком расположена кожа и подкожная клетчатка (1), мышцы передней брюшной стенки (2). В типичном случае отросток лежит медиальнее подвздошной мышцы (3), над подвздошными артерией (4) и веной (5). Проследить место отхождения отростка от слепой кишки (6) удается редко (рис. 5.1Б).

Измененный вследствие воспаления аппендиекс не компримируется, не смещается, не перистальтирует, в диаметре достигает 8 мм и более, имеет слоистую стенку и гипоанэхогенное содержимое (рис. 5.2, стрелки; а — поперечный срез, б — продольный). В единичных случаях возможен спонтанный регресс воспалительных изменений отростка, когда в течение 2–3 сут восстанавливается его нормальная эхоструктура и исчезают клинические проявления. Для воспалительной трансформации аппендиекса характерен косвенный эхосимптом — локальный кишечный стаз: отсутствие перистальтических сокращений петель кишечника, расположенных около воспаленного червеобразного отростка.

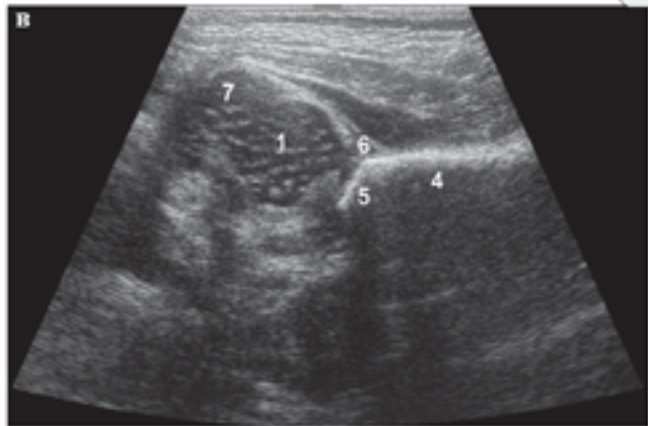
Глава 6

Опорно-двигательный аппарат и мягкие ткани

В детской практике возможности УЗИ-исследования опорно-двигательного аппарата принципиально выше, чем у взрослых, поскольку значительная часть будущей костной ткани имеет еще хрящевое строение. Особенно это относится к периоду новорожденности: хрящевая головка бедра определяет достоверность УЗИ в диагностике врожденного вывиха бедра.



Рис. 6.1



Нормальная эхоанатомия тазобедренного сустава новорожденного представлена на рис. 6.1. Целесообразно проводить УЗИ в провокационной позе: приведение и внутренняя ротация бедра младенца в положении на контрлатеральном боку. Удержание младенца в требуемой позе выполняет мать ребенка или медперсонал. Датчик располагается в сагиттальной плоскости так, чтобы подвздошная кость на эхограмме была выведена строго в горизонтальном направлении, одновременно была выведена седалищная кость и Y-образный хрящ между ними. Центральное место занимает головка бедра, полностью хрящевая у большинства новорожденных.

Если ножка ребенка согнута в тазобедренном суставе, диафиз бедра остается вне скана, если разогнута — диафиз также попадает в скан (рис. 6.1; 1 — головка бедра; 2 — диафиз бедра; 3 — седалищная кость; 4 — подвздошная кость; 5 — вертлужная впадина (часть, сформированная подвздошной костью); 6 — хрящевая крыша сустава; 7 — большой вертел). Иногда в скан попадает хрящевой в периоде новорожденности большой вертел. Точка перехода горизонтальной части подвздошной кости во впадину называется эркер.

Для количественной оценки соотношений структур тазобедренного сустава выполняется его графическая разметка: базовая (или — основная) линия строго через горизонтально ориентированную линию края подвздошной кости (рис. 6.2, линия «1»). Затем проводится линия 2, характеризующая глубину костной части вертлужной впадины (ацетабулярная). Для этой линии намечаются две «копорные точки»: эркер и Y-образный хрящ. Угол между этими линиями называют углом α , величина которого в зрелом ТБС составляет не менее 60° . Линия 3 характеризует хрящевое покрытие, иногда ее называют инклинационной линией.

Глава 7

Органы мошонки

УЗ-исследование органов мошонки проводится в основном по показаниям. В последние годы в ряде регионов внедрен принцип УЗ-скрининга органов мошонки у мальчиков дошкольного и пубертатного возраста.

Исследование органов мошонки не требует специальной подготовки, выполняется стандартным линейным датчиком апертурой около 4 см в соответствующих режимах («тестикулярный», «мелкие части» и т. п.). При резком увеличении размеров мошонки (отек, кровоизлияние) может быть использован конвексный (абдоминальный) датчик для обзорной визуализации мошонки, после определения зоны интереса целесообразно использование линейного датчика. При необходимости (оценка сосудов семенного канатика, кист, грыж, поиск крипторхированного яичка и пр.) зона осмотра расширяется и включает в себя паховые области, внутреннюю поверхность бедер, лонную область, область малого таза.

Широко применяется сканирование в режиме «двух полей».

Размеры яичек: новорожденные и дети до года — около 10–12 × 5–6 мм; дети 3–5 лет — около 15–17 × 7–8 мм; дети 7–10 лет — около 18–22 × 10–12 мм; в период полового созревания (подростки 12–16 лет, индивидуально) яички быстро увеличиваются в размерах, достигая 40–45 × 20–26 мм.

Для детей раннего возраста характерно наличие небольшого количества жидкостного содержимого в оболочках яичек, в других возрастных группах могут прослеживаться в норме только следы жидкостного содержимого в оболочках.

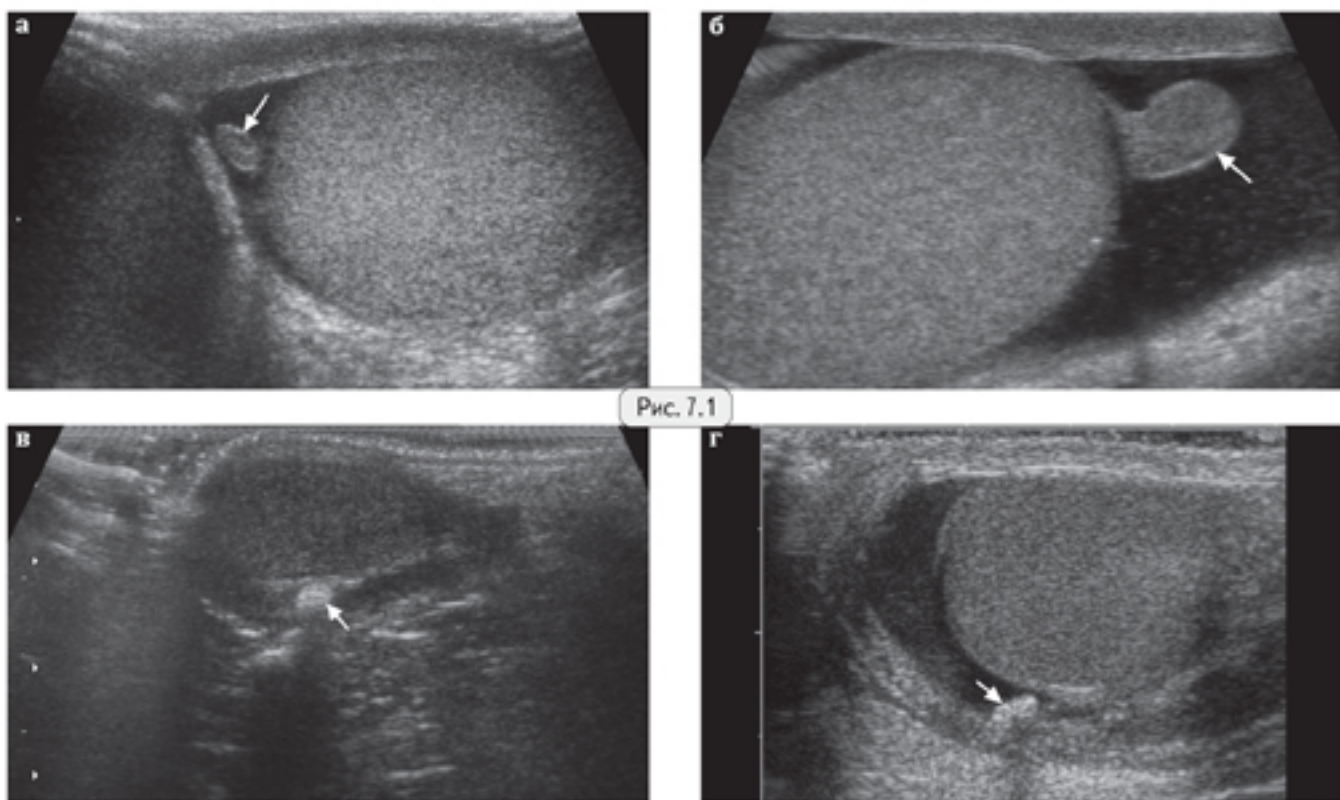


Рис. 7.1

Неизмененная гидатида (рис. 7.1а, б, стрелки; клип 7.1 на CD) визуализируется только на фоне жидкости в оболочках яичка, размеры неизмененной гидатиды обычно менее 4 мм в диаметре (в исключительных случаях — до 5–6 мм). Редкой эхографической находкой является бессимптомная кальцифицированная гидатида, что свидетельствует о перенесенном перекруте, некрозе и кальцификации некротизированной гидатиды (рис. 7.1в, г, стрелки). Кальцифицированная гидатида имеет четкую акустическую тень и при наличии небольшого количества выпота в оболочках яичка может свободно перемещаться в них.

Глава 8

Внутренние гениталии

Внутренние гениталии у детей визуализируются трансабдоминально при наполненном мочевом пузыре (1), трансректальное сканирование выполняется только в узкоспециализированных отделениях.

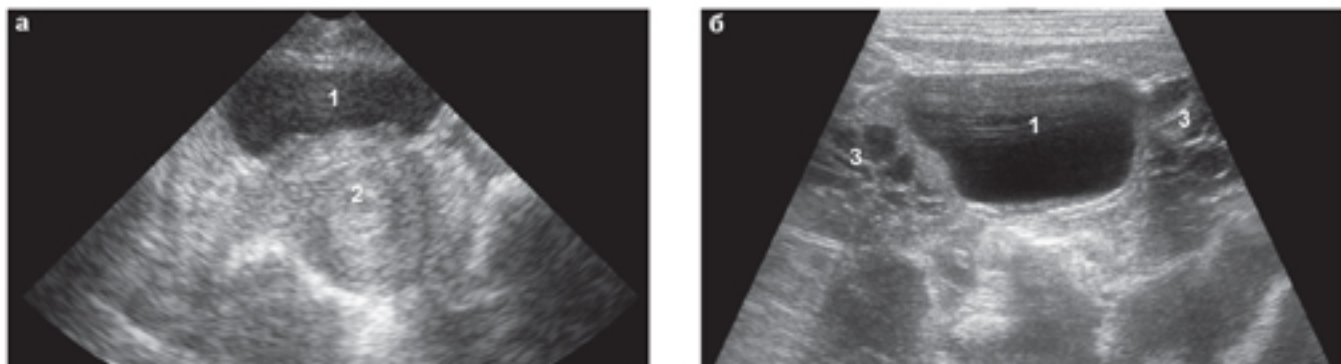
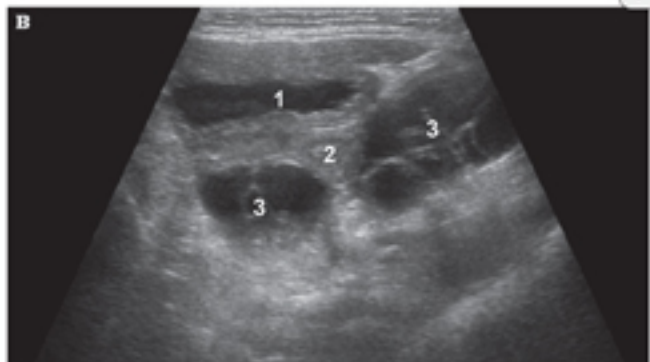


Рис. 8.1



У новорожденных девочек, вследствие гормонального фона матери, матка относительно крупная (2), выражено М-эхо (рис. 8.1а — «гипертроированная» матка новорожденных; клип 8.1 на CD). Яичники (3) также часто крупные, достигают размеров 2×3 см, с множественными фолликулами, при этом размеры единичных фолликулов могут достигать 8, редко — 10 мм (рис. 8.1б, в).

Характерно высокое расположение яичников (до подвздошных областей и выше), когда они ло-

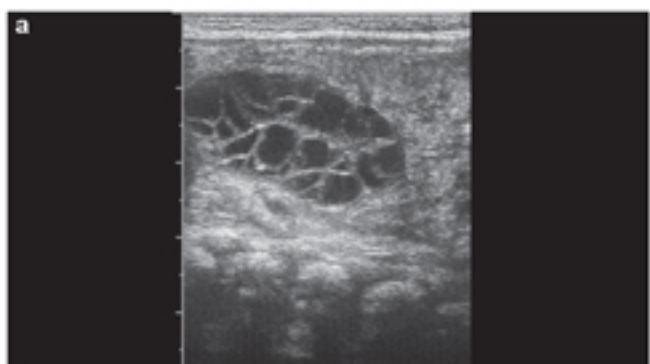


Рис. 8.2



цируются из латеральных доступов вплоть до уровня нижнего полюса почек. Осмотр проводится конвексным или линейным датчиком (рис. 8.2, яичники показаны стрелками; клип 8.2 на CD). Гиперстимулированные яичники представляют собой конгломераты мелких тонкостенных структур (фолликулов), при этом стромальный компонент яичников практически не прослеживается. Такой вид яичники сохраняют около месяца, в единичных случаях — до 4–5 мес жизни девочки.

Глава 9

Почки

Условием корректного выполнения УЗИ почек и МВП у детей является состояние достаточно наполненного мочевого пузыря ребенка. У младенцев, когда сознательная задержка мочеиспускания невозможна, УЗИ начинается с установки датчика на область мочевого пузыря: негативная реакция на осмотр обычно сопровождается мочеиспусканием, и визуализация пузыря будет невозможной.

Если возможна энтеральная водная нагрузка, то схема подготовки к УЗИ почек примерно такова:

- младенца поить в течение часа до исследования (сколько выпьет);
- в остальных случаях, когда возможна сознательная задержка мицции, дополнительная водная нагрузка проводится примерно за час до УЗИ в объеме: около 200 мл — для детей дошкольного возраста; 300–400 мл — для младших школьников; 500–700 мл — для подростков. В экстренных случаях мочевой пузырь может быть наполнен по катетеру стерильным физиологическим раствором в объеме разовой мицции: новорожденному ребенку — около 20 мл; младенцу до года — 30–50 мл; ребенку 1–3 лет — 50–70 мл; 4–6 лет — 100 мл; 7–10 лет — 150 мл; 11–15 лет — 200–300 мл.

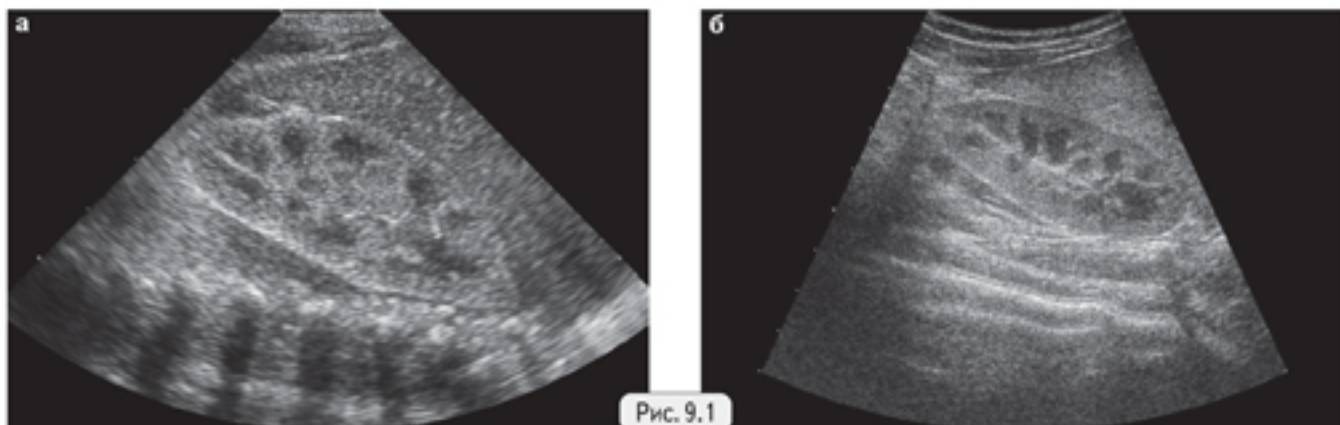


Рис. 9.1

Особенностью эхоструктуры почек у детей является четкая визуализация гипоэхогенных пирамид, которые образованы собирательными тубулами (рис. 9.1). Классической ошибкой врачей, не работающих с детьми, является то, что пирамидки путают с кистами или дилатированными чашечками, описывая кистозную дисплазию или гидрокаликоз у здоровых детей. Эхогенность кортекса у младенцев выше эхогенности паренхимы печени (рис. 9.1а).

Возрастные нормы размеров. Наиболее стабильным и «нормируемым» размером почки является ее длина. Толщина в зависимости от индивидуальных особенностей строения органа составляет 40–50% от длины, хотя возможны индивидуальные варианты формы почек (длинные — вытянутые или короткие — утолщенные).

Нормативные показатели длины парной почки:

- недоношенный ребенок 1500 г весом — около 36–38 мм;
- доношенный новорожденный — 45–50 мм;
- 1 год — около 62 мм;
- далее — прирост около 3 мм в год.

Длина почки вычисляется по формуле: $62 + 3 \times (n - 1)$, где n — возраст в годах. Т. е. в 8 лет длина почки: $62 + 3 \times (8 - 1) = 62 + 3 \times 7 = 62 + 21 = 83$ мм.

Глава 10

Надпочечники

Прицельное УЗ-исследование надпочечников выполняется нечасто, в основном в периоде новорожденности при подозрении на кровоизлияние в надпочечник и у детей всех возрастных групп при подозрении на эндокринную патологию. Визуализация надпочечников не всегда легкодоступна. Сканирование выполняется из латеральных доступов в положении ребенка на спине. Дорсальные доступы не информативны. Правый надпочечник чаще имеет треугольную форму, левый — треугольную или овальную. Иногда надпочечник может быть «размазан» по верхнему полюсу почки, иметь неправильную, неравномерно вытянутую форму. Принципиального значения это не имеет.

Размеры надпочечников весьма вариабельны: у новорожденных — до 18×10 мм («шоковые» надпочечники — до 22×14 мм), у детей до 7 лет — около 12×8 мм, у школьников — до 18×10 мм. Иногда надпочечники достоверно визуализировать не удается (чаще — левый).

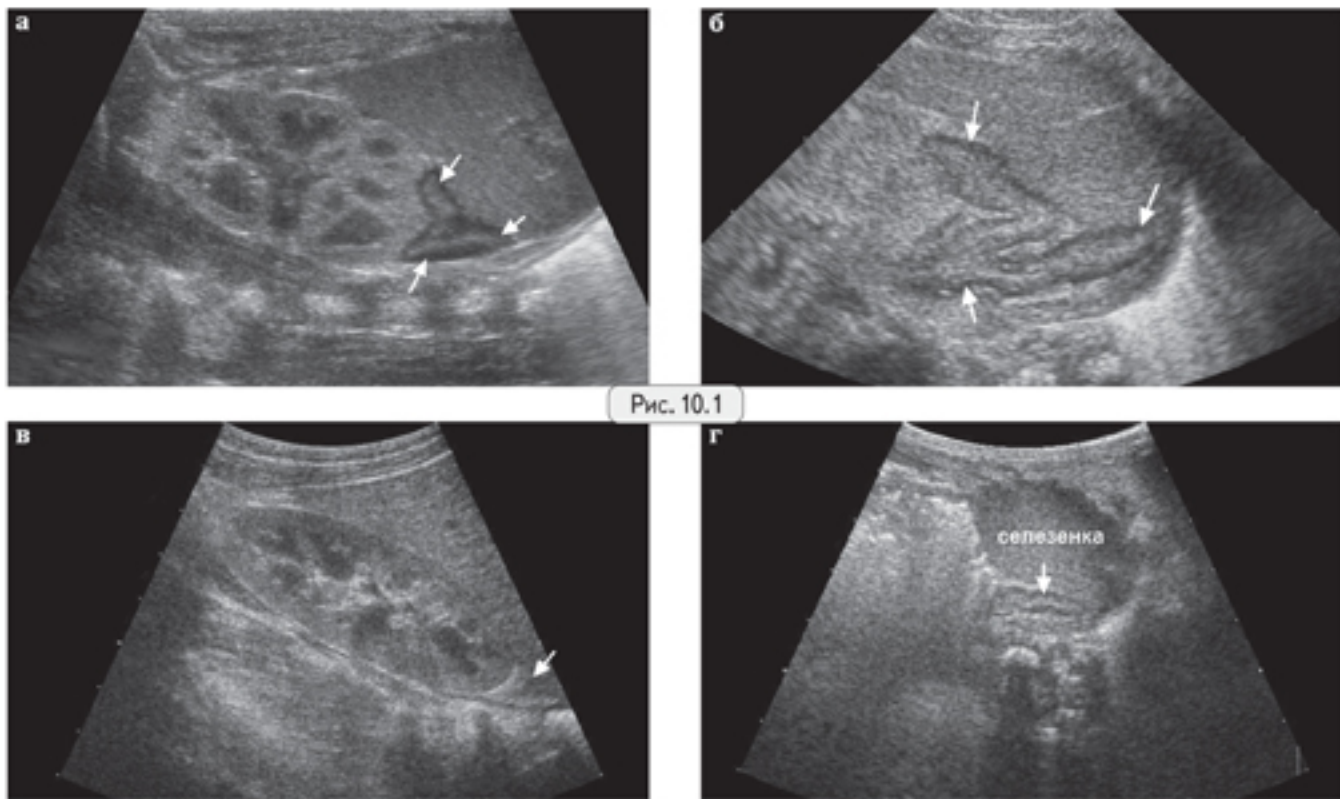


Рис. 10.1

Надпочечники четко видны в периоде новорожденности, когда имеется достаточно резкая дифференцировка кортиковального и медуллярного слоев и относительно крупные размеры (рис. 10.1а, стрелки). После тяжелых родов, перенесенной гипоксии и других неблагоприятных состояний у младенцев на протяжении нескольких суток могут иметь место т. н. шоковые надпочечники: хорошо дифференцированные, крупные, «толстые» надпочечники, впрочем, без каких-либо очаговых изменений. Клинически состояние может никак не проявляться (рис. 10.1б, стрелки).

У детей старше периода новорожденности надпочечники имеют скучное эхографическое представительство (рис. 10.1в, стрелка), дифференцировка их слоев не прослеживается, эхогенность может быть оценена как средняя или повышенная. При агенезии почки (редко — при перекрестной дистопии) надпочечник на стороне отсутствующей почки расположен в типичном месте, но имеет нетипичную, лентовидную форму. Особенно четко такой надпочечник визуализируется у новорожденных, в виде тонкой продольно-полосатой ленты, сплошность которой определяется наличием гипоэхогенного кортиковального и гиперэхогенного медуллярного слоев (рис. 10.1г, стрелка).

Вопросы тестового контроля

1. Показаниями к нейросонографии являются:

- А — недоношенность, незрелость, антениперинатальные проблемы;
- Б — наличие неврологической симптоматики, травма головы;
- В — скрининг и/или желание родителей;
- Г — все перечисленные показания.

2. Нейросонография может быть выполнена:

- А — детям от 0 до месяца жизни;
- Б — детям от 0 до 3 мес жизни;
- В — детям от 6 до 12 мес жизни;
- Г — детям от 0 лет до закрытия родничков.

3. Нейросонография детям с травмой головы выполняется:

- А — только в положении ребенка стоя;
- Б — обязательно через большой родничок и височные доступы;
- В — не ранее чем через 3 сут после травмы;
- Г — не проводится детям ранее 6 мес жизни.

4. При внутриутробной инфекции нейросонография может выявить:

- А — лентикулостриарную минерализирующую анигопатию;
- Б — субэндимимальные кисты;
- В — кальцификаты в перивентрикулярных областях;
- Г — все перечисленные изменения.

5. Внутричерепная гипертензия при нейросонографии:

- А — проявляется в виде вентрикуломегалии;
- Б — проявляется в виде расширения наружных ликворных пространств;
- В — может не проявляться эхографически;
- Г — возможен любой из перечисленных вариантов.

6. Признаками незрелости структур головного мозга являются:

- А — обеднение рисунка борозд и извилин;
- Б — часто расширение полости прозрачной перегородки;
- В — повышение эхогенности перивентрикулярных тканей;
- Г — характерно сочетание всех перечисленных признаков.

7. Вилочковая железа эхографически:

- А — может быть оценена у детей первых месяцев жизни;
- Б — не визуализируется;
- В — определяется только у детей старше 3 лет;
- Г — экранирована щитовидной железой.

8. Подчелюстной лимфаденит эхографически выглядит как:

- А — конгломерат округлых гипоэхогенных лимфоузлов;
- Б — увеличение размеров лимфоузлов;
- В — часто — повышение эхогенности окружающих тканей;
- Г — характерно сочетание перечисленных изменений.

9. Мышечная кривошее эхографически выглядит как:

- А — истончение кивательной мышцы;
- Б — веретенообразное утолщение кивательной мышцы;
- В — отсутствие кивательной мышцы в типичном месте;
- Г — возможен любой из представленных вариантов.

10. Нормальные параметры зрелого тазобедренного сустава:

- А — угол α более 60° , угол β менее 55° ;
- Б — угол α более 50° , угол β менее 65° ;
- В — угол α более 43° , угол β менее 90° ;
- Г — возможен любой из перечисленных вариантов.

11. При врожденном вывихе бедра эхографически характерно:

- А — уплощение вертлужной впадины;
- Б — расширение хрящевой крыши;
- В — смещение головки бедра латерально и вверх;
- Г — совокупность всех перечисленных изменений.

12. Если при УЗИ кровь в малом тазу и латеральных каналах, ее количество:

- А — до 8 мл/кг веса ребенка;
- Б — от 8 до 24 мл/кг веса ребенка;
- В — более 24 мл/кг веса ребенка;
- Г — более 0,3% от веса ребенка.

Визуальные задачи

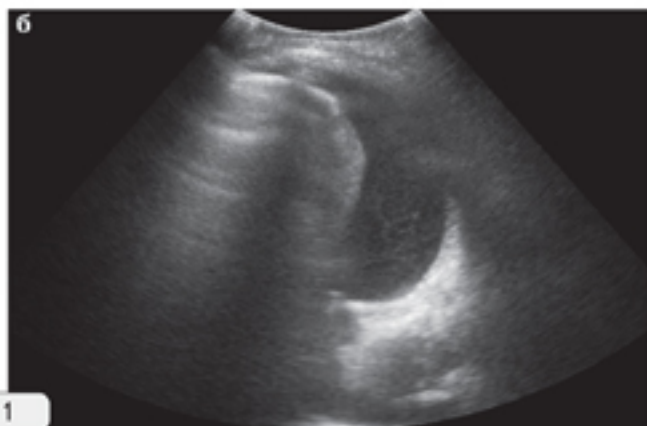
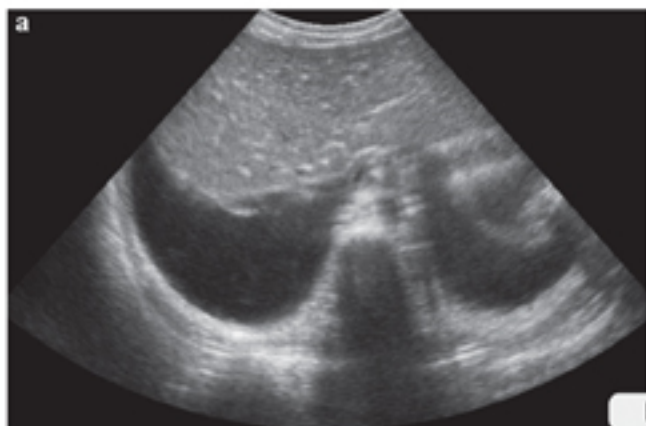


Рис. 1

1. Сканы — поперечный в эпигастринии и продольный в подмышечной области справа:
А — гидроторакс с обеих сторон; Б — нижнедолевая пневмония справа; В — фибриноторакс справа.

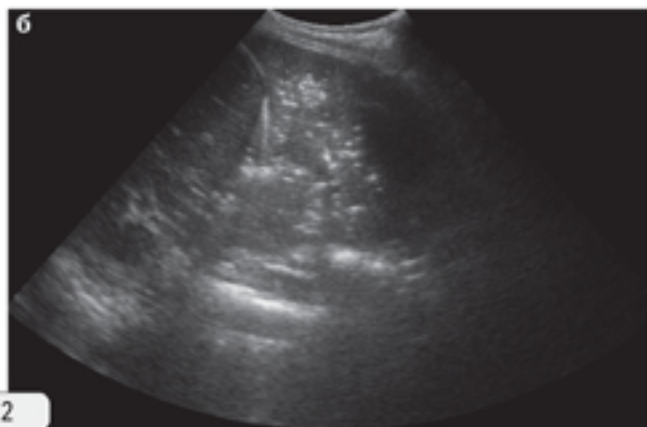
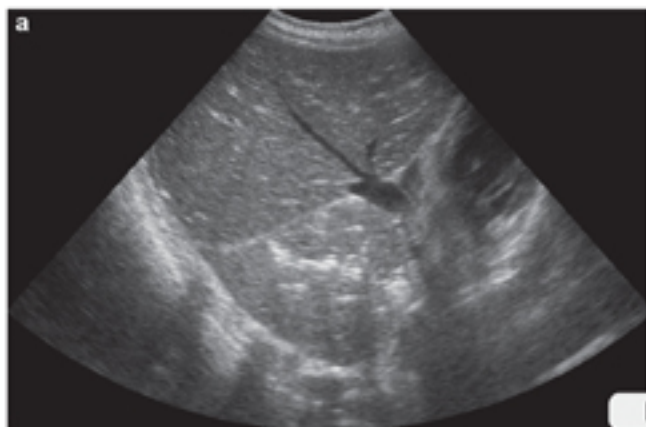


Рис. 2

2. Сканы — косопоперечный в эпигастринии и продольный в подмышечной области справа:
А — гидроторакс с обеих сторон; Б — нижнедолевая пневмония справа; В — фибриноторакс справа.

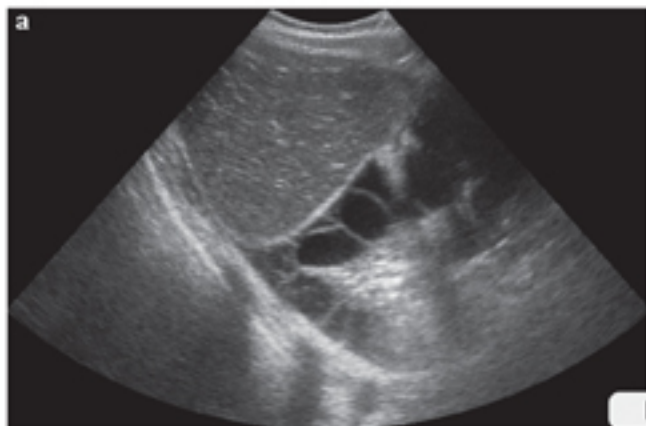


Рис. 3

3. Сканы — продольный и поперечный в подмышечной области справа:
А — гидроторакс с обеих сторон; Б — нижнедолевая пневмония справа; В — фибриноторакс справа.

Описание исследований, представленных в клипах на CD-диске

КЛИПЫ К ГЛАВЕ 1

Клип 1.1

Доступ: через большой родничок.

Скан: фронтальный.

Перемещения датчика: во фрonto-окципитальном направлении.

Визуализируются: срединные структуры головного мозга — межполушарная щель (сомкнута), мозолистое тело, полость прозрачной перегородки, III желудочек. Передние рога боковых желудочков практически сомкнуты, их ликворная часть едва прослеживается. Хвостатые ядра (головки) с трудом дифференцируются от остальных базальных ганглиев. Сильвиевы борозды сомкнуты.

Клип 1.2-1

Доступ: через большой родничок.

Скан: сагittalный.

Перемещения датчика: отсутствуют.

Визуализируются: полость прозрачной перегородки как содержащая жидкость структура, ее верхняя граница — мозолистое тело, над ним — поясная борозда. Четко дифференцируются подкорковые ганглии, кпереди от них и чуть глубже — межножковая цистерна. Можжечок определяется как структура несколько повышенной эхогенности, в задней черепной ямке нечетко видна анэхогенная большая цистерна. При осмотре в режиме реального времени хорошо заметна пульсация сосудов головного мозга.

Клип 1.2-2

Доступ: через большой родничок.

Скан: парасагittalный.

Перемещения датчика: в право-левом направлении.

Визуализируются: боковой желудочек (тело и затылочный рог, не дилатированы), хвостатое ядро (с трудом дифференцируется от остальных базальных ганглиев). Фрагментарно видна поясная борозда.

Клип 1.6

Доступ: через заднебоковой родничок.

Перемещения датчика: во фрonto-окципитальном направлении.

Визуализируются: из супратенториальных структур — только фрагменты затылочных рогов боковых желудочков и минимальные участки паренхимы затылочных долей. В основном в скане представлены инфратенториальные структуры: мозжечок и между его полушариями — продолговатый мозг, над которым — ножки мозга (между ними фрагмент сильвиева водопровода в косопоперечном сечении); IV желудочек — боковыми отверстиями Люшка и центральным — Мажанди; минимальное паракеребеллярное скопление жидкостного содержимого около полушария мозжечка.

Клип 1.9-1

Доступ: через большой родничок.

Скан: кософронтальный.

Перемещения датчика: во фрonto-окципитальном направлении.

Визуализируются: боковые поверхности борозд в некоторых сканах (слева по конвекситальной поверхности мозга) формируют поля повышенной эхогенности, симулирующие объемные образования. Перемещения датчика приводят к изменению плоскости сканирования и исчезновению артефактных «объемных образований».